

(株)建設技術研究所 正員○後藤 修次
建設省土木研究所 正員 箱石 慶昭

1. はじめに

近年、重力式コンクリートダムに設置される小容量の低水放流設備（利水放流設備等）においては、専用の減勢工を設けずに空中放流方式として、本体洪水吐きの減勢工を利用する場合が多い。またこれらの設備は、水平あるいは最大でも 10° 程度の緩傾斜で放流する例が多いことより、減勢池への突入角度が低角度となり、放流水が減勢池に安定して突入するか否かが問題となる。しかしながら、これら放流設備の配置設計等においては、放流水の減勢に関する検討が十分行われていないのが現状と考えられる。そこで本研究は、小容量放流設備として比較的よく用いられる2種類の模型を使用して空中放流実験を行い、減勢池内の流況区分を行うと共に、放流水が減勢池内に安定して突入する場合の減勢長について検討を行った。

2. 実験概要

実験概要図を図-1に示すが、使用した設備模型はJ.F.G.およびH.J.V.であり、いずれも設置角度は水平、ゲート開度は全開とした。実験ケースを表-1に示すが、実験Iは流況変化点を調査するものであり、流況変化点における有効水頭を1点求めた。流況の判断は目視観察によつた。また実験IIは、放流水が減勢池内に安定して突入する場合（潜り跳水）の減勢長（潜り跳水長）を調査するものであり、流況が潜り跳水となるケースについて潜り跳水長を目視により測定すると共に、底面圧力分布および下流水深も同時に測定した。

3. 実験結果および考察

3.1 流況区分

減勢池内の流況としては図-2に示すように、水脈落下点下流が潜流となり跳水ローラーが発生する潜り跳水と、放流水が減勢池内に突入せず水面を走る流況（表面波状射流）の2種類に分類される。図-3および4にそれぞれの設備について、突入時の諸量である突入フルード数 $F_{r0} (=v_0/\sqrt{g \cdot d_0})$ と θ_0 で整理した流況区分図を示す。突入流速 v_0 は別実験にて放流水脈の軌跡調査を行い、水脈中心の軌跡を放物線で近似し計算より求めた。また水脈厚 d_0 は流量を一定とし、突入流速 v_0 より求まる換算断面を円形と仮定して求めた。図中の曲線は F_{r0} の2次式で近似したものであり、いずれの設備についても、 F_{r0} が小さい程あるいは θ_0 が大きい程潜り跳水となりやすい傾向を示しているが、J.F.G.については F_{r0} が10程度を越えると、流況変化点となる θ_0 が一定値に近づく傾向が認められ、H.J.V.については F_{r0} が3~10の全実験範囲において、流況変化点に及ぼす F_{r0} の影響はJ.F.G.に比較して小さいようである。また、上流水深 $h_1/D = 2.5$ と $h_1/D \geq 5.0$ で流況変化点が異なるのは、表面波状射流となる場合の水脈の突入深さ h/D が最大でも5.0未満であり、 $h_1/D = 2.5$ の場合は底面の影響を受けていると考えられる。

3.2 潜り跳水長

流況が潜り跳水となる場合においても図-5に示すように、底面に動水圧が作用する（潜り跳水I）か否（潜り跳水II）かにより、さらに流況を2つに区分し検討を加えた。潜り跳水長としては、潜り跳水Iの流況においては突入点下流に圧力勾配が形成されることより、潜り跳水による減勢機構を考慮してこの圧力勾配との関係より決定した。また潜り跳水IIの流況においては、圧力勾配は形成されないため目視の値を採用

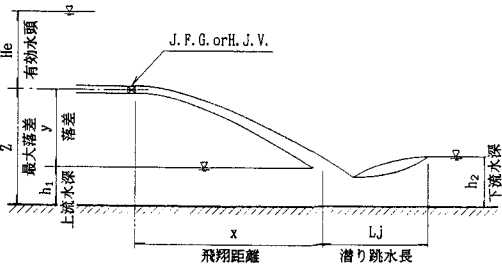


図-1 実験概要図

表-1 実験ケース一覧

	パラメータ			備考
	最大落差 Z	有効水頭 He	上流水深 h1	
実験I	5・D	流況変化点における有効水頭を1点求める。	2.5・D	D:ゲート径 (100mm)
	10・D		5.0・D	
実験II	15・D	5・D	7.5・D	D:ゲート径 (100mm)
	20・D		10.0・D	
		10・D	12.0・D	
		20・D		



図-2 流況の分類

した。潜り跳水Iにおいては潜り跳水長L_jは、底面に衝突するまでの噴流拡散による減勢区間L₁とそれ以降の跳水による減勢区間L₂とに分けられると考える。跳水による減勢区間長L₂/d₀は、底面に衝突する際のフルード数Fr=(v₀/g·d₀)により規定されると予想されるため、噴流拡散による速度減衰が軸対称あるいは3次元自由噴流の場合と類似しているものと仮定して、底面に生ずる動水圧の最大値から速度減衰の式を推定した。その結果はそれぞれの設備について以下の通りであり、

$$\frac{Fr}{Fr_0} = \frac{3.962}{(L/d_0)} \quad (\text{J.F.G.}), \quad \frac{Fr}{Fr_0} = \frac{3.510}{(L/d_0)} \quad (\text{H.J.V.})$$

この式により拡散距離L/d₀に対する衝突フルード数Frを推定するものとする。図-6および7に、跳水による減勢区間長L₂/d₀と底面への衝突フルード数Frとの関係をそれぞれの設備について示すが、図中の曲線は近似式でありL₂/d₀は突入角度θ₀にはよらずFrのみの関数で表され、Fr^{1/2}に比例する傾向が認められる。潜り跳水IIにおいては潜り跳水長L_jは、噴流拡散により完全に減勢される区間L₁とそれ以降の潜流が水面まで上昇するのに要する区間L₂に分けられると考える。前記した速度減衰の式からも予想される通り、噴流拡散により完全に減勢される(Frが一定値になると仮定)のに必要な拡散距離L₀/d₀は突入フルード数Fr₀に比例すると考えられる。この比例係数αは、動水圧が作用するか否かの条件によりJ.F.G.においては1.869~1.739の範囲に、H.J.V.においては1.641~1.717の範囲にあると考えられるが、ここでは多少安全側にJ.F.G.においてα=1.739、H.J.V.においてα=1.717として減勢に要する拡散距離L₀/d₀を推定するものとする。図-8および9に、L₂/d₀と突入角度θ₀との関係をそれぞれの設備について示すが、L₂/d₀は突入角度θ₀によらずほぼ一定値であると考えられる。

4. おわりに

以上減勢池内の流況区分を行い、流況が潜り跳水の場合の潜り跳水長について、水脈落下点より底面に達する間の減勢を、軸対称あるいは3次元自由噴流に類似するものと仮定して検討したが、この考え方により潜り跳水における減勢機構の平均的傾向がつかめたと共に、両設備の傾向も類似していることが明かとなつた。しかしながら、突入厚d₀のとり方については多少問題が残るところであり、流況が表面波状射流の場合の必要減勢長についても、今後検討する必要があると考えられる。

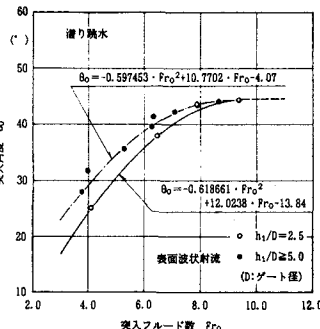


図-3 流況区分図(J.F.G.)

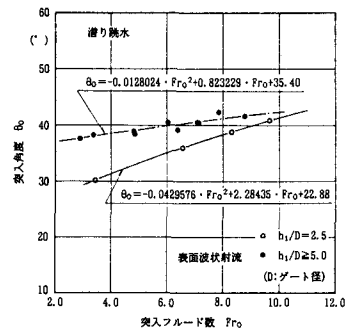


図-4 流況区分図(H.J.V.)

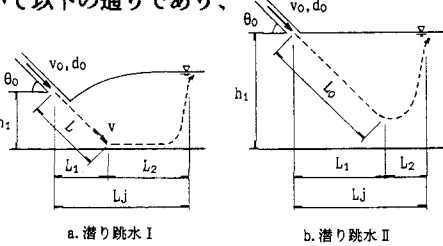
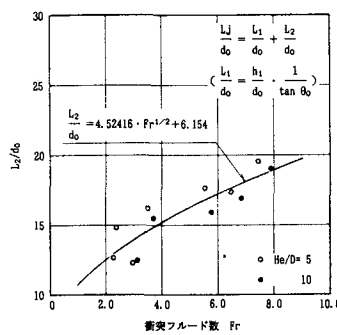
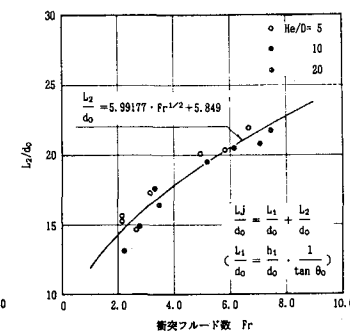
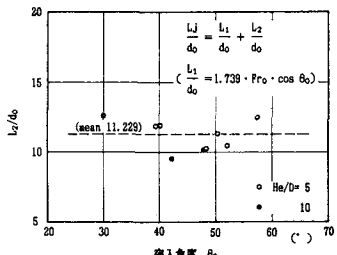
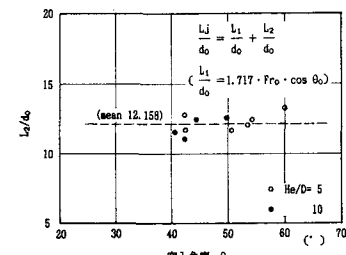


図-5 潜り跳水における流況の分類

図-6 L₂/d₀と衝突フルード数Frとの関係
(J.F.G.)図-7 L₂/d₀と衝突フルード数Frとの関係
(H.J.V.)図-8 L₂/d₀と突入角度θ₀との関係(J.F.G.)図-9 L₂/d₀と突入角度θ₀との関係(H.J.V.)